



Dinar (Afyon) yöresi Eosen (Lütesiyen) sedimanlarının bentik foraminifer biyostratigrafisi

Benthic foraminiferal biostratigraphy of the Eocene (Lutetian) sediments of the Dinar (Afyon) region

Muhittin GÖRMÜŞ¹, Niyazi AVŞAR², Feyza DİNÇER², Kubilay UYSAL¹, Sibel KÖSE-YEŞİLOT³, Suveyla KANBUR¹, Zümra İÇ⁴

¹ Süleyman Demirel Üniversitesi, Jeoloji Mühendisliği Bölümü, 32260 Çünür, ISPARTA

² Çukurova Üniversitesi, Jeoloji Mühendisliği Bölümü, 01330 Balcalı, ADANA

³ Isparta Kooperatifler Birliği, ISKOP, ISPARTA

⁴ Karayolları 8. Bölge Müdürlüğü, 23100 ELAZIĞ

Geliş (received) : 04 Ekim (October) 2006

Kabul (accepted) : 08 Şubat (February) 2007

ÖZ

İnceleme alanı, Dinar (Afyon) ilçesinin merkez ve çevresinde yer almaktadır. Dinar ve yakın çevresindeki stratigrafik istif; temelde Mesozoyik yaşılı birimlerle başlayıp, daha sonra Senozoyik yaşılı kırıntılı ve karbonatlı kayaçlarla devam etmektedir. Bu çalışma, kireçtaşı, kumlu-kıllı kireçtaşlı litolojisine sahip olan Garipçe formasyonu içerisinde gerçekleştirılmıştır. Garipçe formasyonuna ait çökeller içerisindeki iri bentik foraminiferlerin biyostratigrafisi ve ortamsal yorumlarını ortaya koymak için, Dinar ilçesi merkez ve çevresinde, üç stratigrafik kesit ölçülerek, orta-geç Lütesiyen'i karakterize eden 13 cins ve 18 tür tayin edilmiştir. Bu türlerden *Alveolina cf. prorecta* Hottinger, *Assilina exponens* (Sowerby), *Nummulites beaumonti* d'Archiac ve Haime, *N. millecaput* Boubée ve *N. praeaturicus* Schaub orta Lütesiyen'i belirtmektedir. *Alveolina* gr. *elliptica* (Sowerby), *Assilina exponens* (Sowerby), *Nummulites aturicus* Joly ve Leymerie, *N. beaumonti* d'Archiac ve Haime ve *Chapmanina gassiniensis* Silvestri ise geç Lütesiyen tabakalarından elde edilmiştir. Tayin edilen bu bentik foraminiferlere göre, orta Lütesiyen içinde SB 14 ve SB 15 biyozonları, geç Lütesiyen içinde ise SB 16 biyozonu ayırtlanmıştır. Litolojik özellikleri ve bentik foraminifer içeriklerinin incelenmesi sonucu bölgdedeki birimlerin resifal ortamda çokeldiğini göstermektedir.

Anahtar Kelimeler: Bentik foraminiferler, biyostratigrafi, biyozon, Dinar, Lütesiyen.

ABSTRACT

The study area is located at the center of Dinar (Afyon) town and surrounding. The stratigraphic sequence of Dinar and surrounding area has Mesozoic units at the base and Cainozoic clastics and carbonate from bottom to top. This study was carried out in the Garipçe formation, which includes limestone, sandy and clayey limestone. Three measured stratigraphic sections were taken from the center of Dinar town and surrounding area for biostratigraphy and paleoenvironmental interpretations of the larger benthic

foraminifera in the sediments of the Garipçe formation. 13 genera and 18 species characterizing the middle and late Lutetian were systematically identified. The presence of Alveolina cf. prorecta Hottinger, Assilina exponens (Sowebby), Nummulites beaumonti d'Archiac and Haime, N. millecaput Boubée and N. praeturicus Schaub indicate the middle Lutetian age. Alveolina gr. elliptica (Sowerby), Assilina exponens (Sowebby), Nummulites aturicus Joly and Leymerie, N. beaumonti d'Archiac and Haime and Chapmanina gassiniensis Silvestri were obtained from the late Lutetian sequence. Based on the identified benthic forams, the biozones SB 14 and SB 15 of middle Lutetian and SB 16 of late Lutetian were determined. From the results of the evaluation of the lithological characteristics and benthic foraminiferal content, it can be suggested that the area was deposited within the reefal environment.

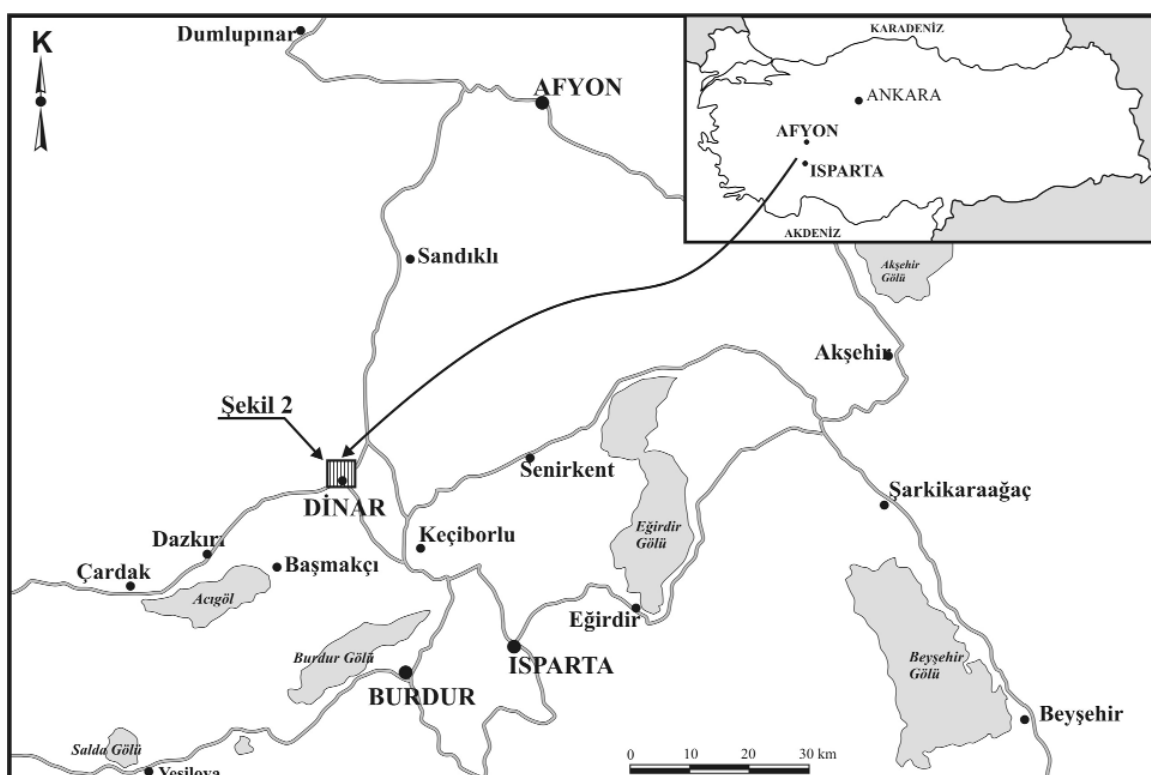
Key Words: Benthic foraminifera, biostratigraphy, biozone, Dinar, Lutetian.

GİRİŞ

Bu çalışmanın amacı, Dinar (Afyon) yöresindeki Eosen (Lütesyen) istifinin bentik foraminifer top-luluğunu incelemek ve biyostratigrafik bulguları sunmaktadır. Araştırma, Afyon iline bağlı Dinar ilçesi merkez ve civarında yer alan Garipçe foramsiyonunda gerçekleştirilmiş olup, inceleme alanı Dinar ilçesinin merkez ve kuzeyinde yer almaktadır (Şekil 1).

İnceleme alanı ve yakın civarında stratigrafik, sedimentolojik, tektonik ve paleontolojik amaçlı

çalışmalar yapılmış olup, Blumental (1947), Brunn vd. (1971), Dumont (1976), Gutnic vd. (1979), Waldron (1981), Koçyiğit (1982), Woodcock ve Robertson (1985), Yalçınkaya vd. (1986), Bilgin vd. (1988), Yıldız ve Toker (1991), Görmüş ve Karaman (1992), Karaman (1994), Yağmurlu (1994), Görmüş ve Özkul (1995), Görmüş (1996) ve Görmüş ve Köse-Yeşilot (1999) bunlardan bazlıdır. Bölgedeki Eosen (Lütesyen) yaşı çökellerin bentik foraminifer içeriğinin, çökelme ortamlarının ve yaşlarının ortaya konulması Eosen dönemi jeolojik tarihçenin açıklanması açısından önemlidir. Bu amaç doğ-



Şekil 1. İnceleme alanının yer bulduru haritası.

Figure 1. Location map of the study area.

rultusunda üç adet stratigrafi kesiti ölçülmüş ve yönlü kaya örnekleri, yumuşak litolojilerden yıkama örnekleri ile tane fosil içeren noktasal ve sistematik örnekler derlenmiştir. Örneklerdeki bentik foraminiferleri elde etmek amacıyla laboratuvara H_2O_2 (hidrojen peroksit) kullanılarak yıkama yöntemi uygulanmış, binoküler mikroskop altında ayıklandıktan sonra tanımlanmıştır. Gerek birey, gerekse kayaç ince kesitleri araştırma mikroskoplarında görüntü analiz yöntemi ile incelenerek foraminiferlerin fotoğrafları çekilmişdir. Bentik foraminifer örnek ve ince kesitleri Süleyman Demirel Üniversitesi, Jeoloji Mühendisliği Bölümü'nde saklanmaktadır.

STRATIGRAFI

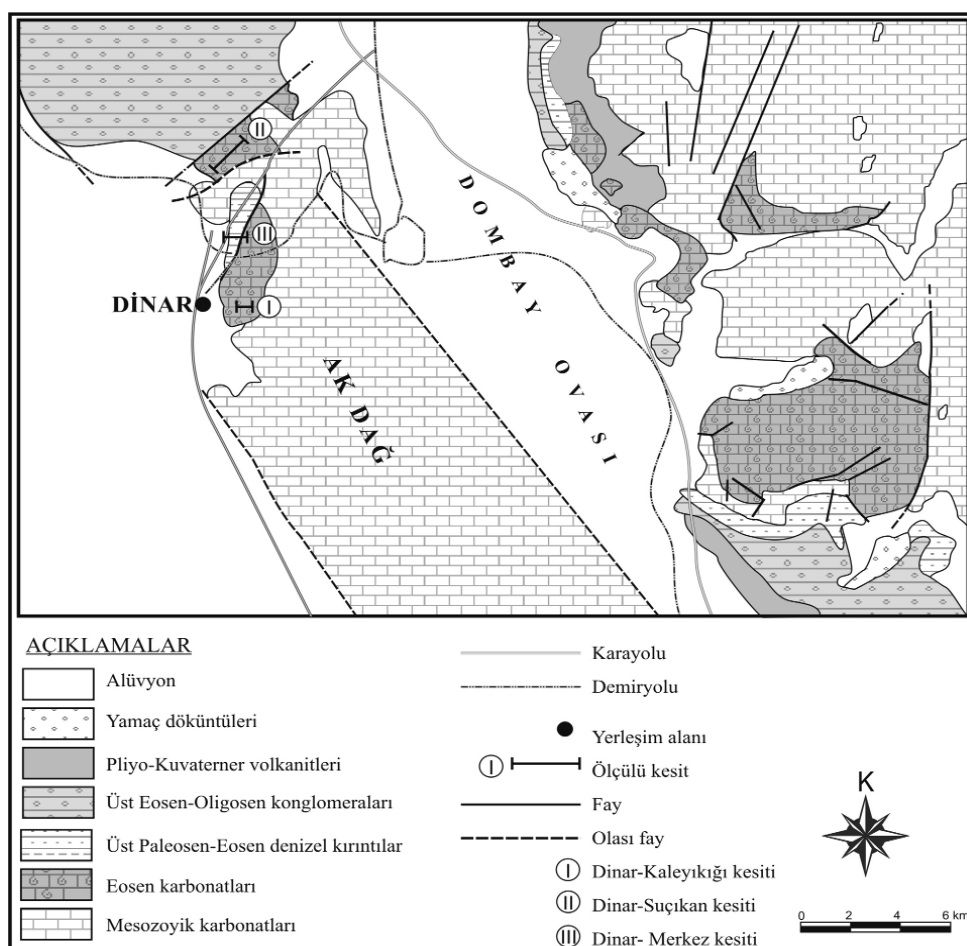
İnceleme alanı ve yakın civarındaki istifler, alttan üste doğru; Mesozoyik melanji, Mesozoyik

karbonatları, Eosen karbonatları (Garipçe formasyonu), Üst Paleosen-Eosen denizel kırtıtları, Üst Eosen-Oligosen konglomeraları, Pliyo-Kuvaterner volkanikleri, Pliyo-Kuvaterner karsal çökelleri ve güncel sedimanlar olarak ayrılmıştır (Şekil 2 ve 3).

Litostratigrafi

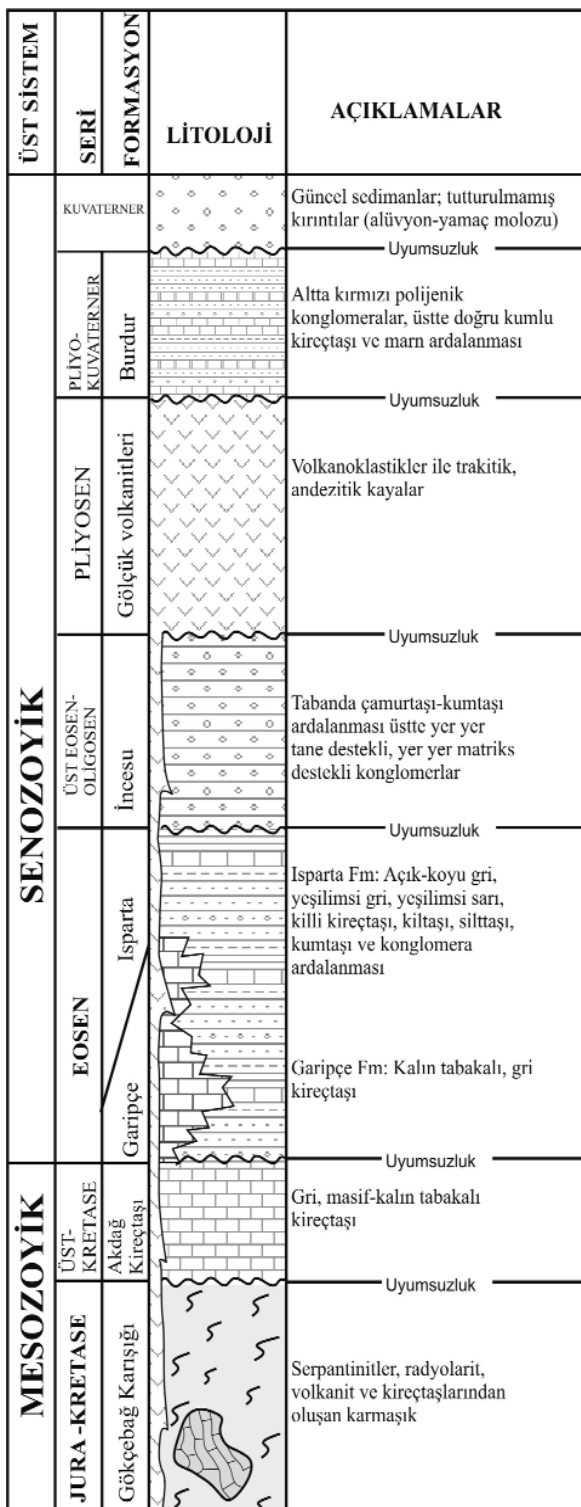
Çalışma, Eosen (Lütesyen) yaşılı Garipçe formasyonunun yüzlek verdiği Dinar ilçesi civarında Eosen karbonatlarının bentik foraminifer içeriği üzerinde gerçekleştirildiğinden, bu kısımda, Garipçe formasyonunun litostratigrafik özellikleri aşağıdaki gibidir.

Tanım ve yayılım: Birim ilk kez Yalçınkaya vd. (1986) tarafından en iyi yüzlek verdiği Dinar ve çevresinde tanımlanmıştır. Formasyon, incele-



Şekil 2. Dinar yörensinin jeoloji haritası (Gutnic vd. (1979) ve Koçyiğit (1984)'den basitleştirilerek alınmıştır).

Figure 2. Geological map of the Dinar region (simplified from Gutnic et al.(1979) and Koçyiğit (1984)).



Şekil 3. Dinar yörensinin genelleştirilmiş stratigrafik dikme kesiti (Köse –Yeşilot, 2000'den basitleştirilerek alınmıştır).

Figure 3. Generalized columnar stratigraphic section of Dinar region (simplified from Köse-Yeşilot, 2000).

me alanı içerisinde Dinar merkez ve kuzeyinde yüzeylemektedir (bkz. Şekil 2).

Litoloji: Dinar-merkez ve çevresinde formasyon, tabanda kireçtaşları litolojisinin hakim olduğu ve üstte doğru yer yer kumlu killi kireçtaşları şeklinde devam etmektedir. Tabandaki kireçtaşları içerisinde iri bentik foraminiferlerden alveolinidler ve ayırt edilebilir kumlu killi kireçtaşları içerisinde ise bol miktarda nummulit türleri bulunmaktadır.

Dokanak ilişkisi: Dinar-Suçikan dolaylarında birim, alta bulunan Davraz kireçtaşları ile faylı bir dokanağa sahiptir. Bu dokanak ilişkisi Suçikan kuzey doğusundaki tepede açıkça görülmektedir. Daha üst kesimlerde Garipçe formasyonu içerisinde gözlenen Isparta filisi, alta Garipçe formasyonuna ait killi kireçtaşları ile yanal geçişler sunmaktadır. Üstte ise, kalkarenit-kalsirudit seviyeleri ile faylı dokanağa sahiptir. Bu ilişki de yine Suçikan dolaylarında belirgin olarak gözlemlenmektedir.

Kalınlık: Dinar-Suçikan'da yapılan ölçülu stratigrafi kesitlerinde formasyon kalınlığı Kaleyiği'nda yaklaşık 100-105 m, Suçikan Tepe'de ise 50 m dolaylarında ve Dinar-Merkez'de 20 m civarında ölçülmüştür.

Fosil ve yaş: Dinar-Suçikan, Kaleyiği ve Dinar-Merkez'de birimin çeşitli seviyelerinden alınan örneklerden aşağıdaki bentik formlar tayin edilmiştir. Bunlar sırasıyla; *Textularia* sp., *Quinqueloculina* sp., *Alveolina* gr. *elliptica* (Sowerby), *Alveolina* cf. *prorrecta* Hottinger, *Alveolina* sp., *Orbitolites* cf. *complanatus* Lamarck, *Fabiania* *cassis* (Oppenheim), *Gyroidinella magna* le Calvez, *Sphaerogypsina globula* (Reuss), *Rotalia* *trochidiformis* Lamarck, *Chapmannina gassinenensis* Silvestri, *Assilina exponens* (Sowerby), *Nummulites aturicus* Joly ve Leymerie, *N. beaumonti* d'Archiac ve Haime, *N. millecaput* Boubée ve *N. praeturanicus* Schaub ve *Discocyclina* sp.'dir (Çizelge 1, Levha 1-2). Tayin edilen bu fosil topluluğuna göre Garipçe formasyonunun yaş aralığı orta-geç Lütésiyen'dir.

Ölçülü Stratigrafik Kesitler

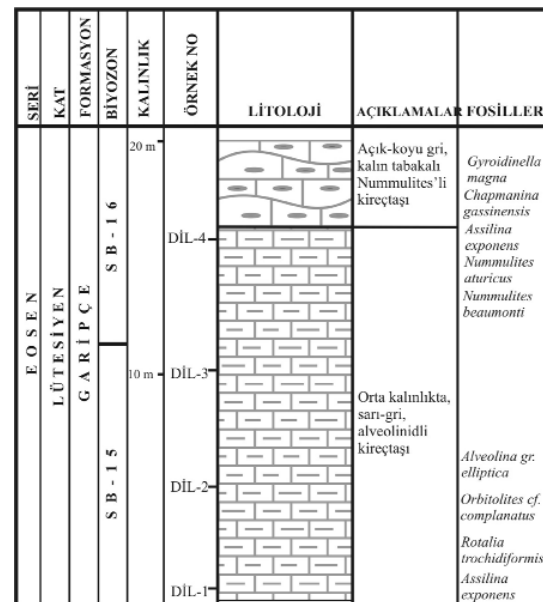
Dinar yöreninden Garipçe formasyonundan üç adet ölçülu stratigrafi kesiti alınmıştır. Bunlardan birincisi Dinar-Merkez kesiti olup, Afyon L24 d3 paftasında yer almaktadır. Başlangıç koordinatları; $38^{\circ} 03' 35.81''$ K, $30^{\circ} 09' 55.91''$ D ve bitiş

Çizelge 1. Bentik foraminiferlerin stratigrafik kesitlere göre dağılımı.

Table 1. Distribution of benthic foraminifera in terms of stratigraphic sections.

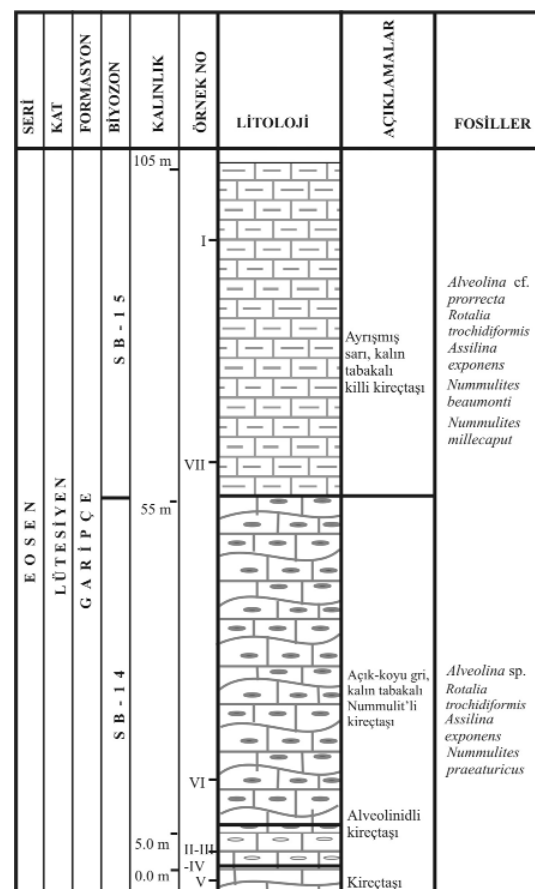
Bentik Foraminiferler	Stratigrafik Kesitler		
	Dinar-Merkez	Dinar-Kaleyiği	Dinar-Suçikan Tepe
<i>Textularia</i> sp.	*		*
<i>Quinqueloculina</i> sp.	*		*
<i>Biloculina</i> sp.	*		*
<i>Alveolina</i> gr. <i>elliptica</i>	*		*
<i>Alveolina</i> cf. <i>prorecta</i>	*		*
<i>Alveolina</i> sp. (fusiform şekilli)	*	*	*
<i>Orbitolites</i> cf. <i>complanatus</i>	*		*
<i>Fabiania cassis</i>	*		*
<i>Sphaerogypsina globula</i>	*		*
<i>Gyroidinella magna</i>	*		*
<i>Rotalia trochidiformis</i>	*	*	*
<i>Chapmanina gassinenensis</i>	*	*	*
<i>Assilina exponens</i>	*	*	*
<i>Nummulites aturicus</i>	*	*	*
<i>Nummulites beaumonti</i>	*	*	*
<i>Nummulites millecaput</i>	*	*	*
<i>Nummulites praeaturicus</i>	*	*	*
<i>Discocyclina</i> sp.	*	*	*

koordinatları ise, $38^{\circ} 03' 35.55''$ K, $30^{\circ} 09' 51.60''$ D'dur. Dinar-Merkez kesitinde Garipçe formasyonu 20 m olarak ölçülmüştür. Bu kesitten toplanan örneklerden tayin edilen bentik foraminiferler Şekil 4 ve Çizelge 1'de görülmektedir. İkinci ölçülu kesit Dinar-Kaleyiğinden alınmış olup, Afyon L24 d3 paftasında bulunmaktadır. Başlangıç koordinatları; $38^{\circ} 04' 26.62''$ K, $30^{\circ} 10' 18.76''$ D ve bitiş koordinatları ise $38^{\circ} 04' 23.69''$ K, $30^{\circ} 10' 26.36''$ D'dur. İkinci ölçülu kesit yeri olan Dinar-Kaleyiğinde formasyon kalınlığı 105 m'dir. Bu kesitten toplanan örneklerden tayin edilen bentik foraminiferler Şekil 5 ve Çizelge 1'de sunulmuştur. Sonuncu ölçülu kesit ise, Suçikan Tepe'den alınan kesittir ve Afyon L24 d3 paftasında yer almaktadır. Başlangıç koordinatları; $38^{\circ} 04' 27.69''$ K, $30^{\circ} 10' 46.02''$ D, bitiş koordinatları $38^{\circ} 04' 26.13''$ K, $30^{\circ} 11' 03.22''$ D'dur. Suçikan Tepe'de kesitin kalınlığı 50 m olarak ölçülmüştür. Bu kesitten toplanan örneklerden tayin edilen bentik foraminiferler de Şekil 6 ve Çizelge 1'de gösterilmiştir.



Şekil 4. Dinar-Merkez stratigrafi kesiti.

Figure 4. Log of the Dinar-Merkez section.



Şekil 5. Dinar-Kaleyiği stratigrafi kesiti.

Figure 5. Log of the Dinar-Kaleyiği section.

Biyostratigrafi

Dinar bölgesinden derlenen örneklerde yapılan mikropaleontolojik çalışmalarında bentik foraminiferlerden 13 cins ve 18 tür tayin edilmiştir (Çizelge 1, Şekil 7). Bu fosil topluluğundan üç adet sıç bentik foraminifer biyozonu ayırtlanmıştır. Bu biyozonların ayrılması Serra-Kiel vd. (1998a ve 1988b)'nin Tetis Paleosen ve Eosen'i için hazırlamış olduğu sıç bentik foraminifer biyozonları esas alınmıştır. Ayrıca, Berggren vd. (1995) tarafından hazırlanan Paleosen-Eosen zaman ölçüği ve sıç bentik foraminifer biyozonları (SB) arasındaki korelasyonla karşılaştırılmıştır.

SB: 14 Biyozonu (orta Lütesiyen 1): Bu biyozon; *Alveolina munieri* Hottinger, *Nummulites benthensis* de la Harpe, *N. gratus* Schaub, *N. aspermontis* Schaub, *N. hilarionis* Schaub, *N. stephan* Schaub, *N. boussaci* Rozloznik ve *Assilina spira* de Roissy'nin varlığı ile sınırlanmaktadır (Serra-Kiel vd., 1998a). Bu biyozonun alt sınırı Samso vd. (1994) ile Bentham ve Burbank (1996)'a göre yaklaşık olarak P10-P11 sınırına uyum sağlamaktadır. SB 14 biyozonu, NP 15'in orta kısmına karşılık gelmektedir (Kapellos ve Schaub, 1973). İnceleme alanında Dinar-Kaleyiüğü ve Suçikan Tepe kesitlerinde yapılan çalışmalarda *Alveolina* gr. *elliptica* (Sowerby), *Alveolina* sp., *Sphaerogypsina globula* (Reuss), *Rotalia trochidiformis* Lamarck, *Assilina exponus* (Sowerby), *Nummulites praeaturicus* Schaub ve *Discocyclina* sp. gibi fosil topluluğu tayin edilmiştir (Çizelge 2, Levha 1-2).

SB: 15 Biyozonu (orta Lütesiyen 2): Bu biyozon; *Alveolina* cf. *prorrecta* Hottinger, *Nummulites sordensis* Herb ve Schaub, *N. crassus* Boubée, *N. millecaput* Boubée, *N. tavertetensis* Reguant ve Clavell, *N. crusafonti* Reguant ve Clavell ve *Orbitoclypeus douvillei chudeoui* (Schlumberger)'in varlığı ile sınırlanmaktadır (Serra-Kiel vd., 1998a). Bu biyozonun alt sınırı, NP 15'in en üst kısmından başlamakta ve NP 16'nın içine kadar erişmektedir (Kapellos ve Schaub, 1973). Dinar yöresinde yapılan çalışmada SB 15 biyozonuna karşılık gelen *Alveolina* cf. *prorrecta* Hottinger, *Fabiania cassis* (Oppenheim) *Gyroidinella magna* le Calvez, *Assilina exponus* (Sowerby), *Nummulites beaumonti* d'Archiac ve Haime ve *N. millecaput* Boubée gibi foraminifer türleri bulunmuştur (bkz. Çizelge 2, Levha 1-2).

SERİ	KAT	ÖRNEK NO	LİTOLOJİ	AÇIKLAMALAR	FOSİLLER
	FORMASYON	BİYOZON	KALINLIK		
E O S E N	LÜTESİYEN	S B - 1 6	DI-10 DI-9 DI-8	Açık-koyu gri, kalın tabakalı, bol nummulitli kireçtaşısı	<i>Rotalia trochidiformis</i> <i>Chapmanina gracilis</i> <i>Assilina exponus</i> <i>Nummulites aturicus</i> <i>Nummulites beaumonti</i>
	G A R İ P Ç E		DI-6 30 m	Gri, kalın tabakalı bol fosilli kireçtaşısı	
		S B - 1 5	DI-7 20 m	Fay Gri, kalın tabakalı, nummulitli kireçtaşısı	<i>Fabiania cassis</i> <i>Sphaerogypsina globula</i> <i>Gyroidinella magna</i> <i>Rotalia trochidiformis</i> <i>Assilina exponus</i> <i>Nummulites beaumonti</i> <i>Nummulites millecaput</i>
			DI-5 DI-4 DI-3 10 m		
		S B - 1 4	DI-2 DI-1	Gri, Kalkarenitik-Kalsidürüt seviyeler; yuvarlak-yarı yuvarlak kireçtaşısı çakılı Fay	<i>Alveolina</i> sp. <i>Alveolina</i> gr. <i>elliptica</i> <i>Sphaerogypsina globula</i> <i>Rotalia trochidiformis</i> <i>Nummulites praeauricus</i> <i>Discocyclina</i> sp.

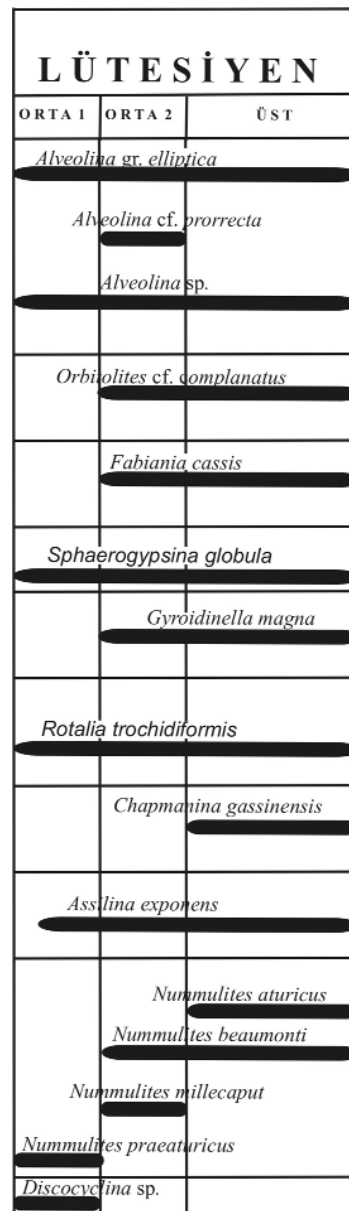
Şekil 6. Dinar-Suçikan Tepe stratigrafi kesiti.
Figure 6. Log of the Dinar-Suçikan Tepe section.

Çizelge 2. İnceleme alanında ayrıtlanan Sığ Bentik Foraminifer Biyozonları (SB).

Table 2. Shallow Benthic Foraminiferal Zones (SB) identified in the study area.

Yaş	Biyozon	Fosil
LÜTESİYEN	ÜST	SB -16 <i>Alveolina gr. elliptica</i> <i>Alveolina sp. (fusiform şekilli)</i> <i>Orbitolites cf. complanatus</i> <i>Fabiania cassis</i> <i>Sphaerogypsina globula</i> <i>Gyroidinella magna</i> <i>Rotalia trochidiformis</i> <i>Chapmanina gassinenensis</i> <i>Assilina exponens</i> <i>Nummulites aturicus</i> <i>Nummulites beaumonti</i>
		SB -15 <i>Biloculina sp.</i> <i>Alveolina gr. elliptica</i> <i>Alveolina cf. prorrecta</i> <i>Alveolina sp. (fusiform şekilli)</i> <i>Orbitolites cf. complanatus</i> <i>Fabiania cassis</i> <i>Sphaerogypsina globula</i> <i>Gyroidinella magna</i> <i>Rotalia trochidiformis</i> <i>Assilina exponens</i> <i>Nummulites beaumonti</i> <i>Nummulites millecaput</i>
	ORTA 1	SB-14 <i>Alveolina gr. elliptica</i> <i>Alveolina sp. (fusiform şekilli)</i> <i>Sphaerogypsina globula</i> <i>Rotalia trochidiformis</i> <i>Assilina exponens</i> <i>Nummulites praeturicus</i> <i>Discocyclina sp.</i>

SB: 16 Biyozonu (geç Lütesiyen): Bu biyozon; *Nummulites herbi* Schaub, *N. deshayesi* d'Arciac ve Haime, *N. praepuschi* Schaub, *N. aturicus* Joly ve Leymerie, *N. carpenteri* d'Archiac ve Haime, *N. puigsecensis* Reguant ve Clavell, *Assilina gigantea* de la Harpe ve *Discocyclina pulchra balatonica* Less'in varlığı ile sınırlanmaktadır (Serra-Kiel vd., 1998a). SB 16 biyozonu NP 16'nın içerisinde yer almaktadır (Kapellos ve Schaub, 1973). Bölgede yapılan çalışmada SB 16 biyozonuna karşılık gelen *Alveolina gr. elliptica* (Sowerby), *Alveolina sp.*, *Orbitolites cf. complanatus* Lamarck, *Fabiania cassis* (Oppenheim), *Gyroidinella magna* le Calvez, *Sphaerogypsina globula* (Reuss), *Rotalia trochidiformis* Lamarck, *Chapmanina gassinenensis* Silvest-



Şekil 7. İnceleme alanındaki iri bentik foraminiferlerin stratigrafik dağılımı.

Figure 7. The stratigraphic distribution of larger benthic foraminifera in the study area.

ri, *Assilina exponens* (Sowerby), *Nummulites aturicus* Joly ve Leymerie ve *N. beaumonti* d'Archiac ve Haime gibi bentik foraminifer türleri tayin edilmiştir (bkz. Çizelge 2, Levha 1-2).

ORTAMSAL YORUM

Bölgesel olarak, havzadaki Eosen (Lütesiyen) yaşılı birimler çalışma alanında da Dinar merkez

ve kuzeyinde yüzeylemektedir. Dinar-Merkez, Dinar-Kaleyiği ve Suçikan Tepe kesitlerinde genelde tabanda kireçtaşı litolojisinin hakim olduğu ve üste doğru yer yer kumlu killi kireçtaşı şeklinde devam ettiği izlenmektedir. Tabandaki kireçtaşları içerisinde iri bentik foraminiferlerden alveolinidler ve ayırmış kumlu-killi kireçtaşları içerisinde ise bol miktarda nummulit türleri bulunmaktadır. Orta-geç Lütesiyen yaş aralığı için karakteristik olan bu bentik foraminiferlere göre, Garipçe formasyonunun taban kısmının içeriği alveolinidlerin bolluğu genel olarak resifal ortamda "Normal Tuzlulukta Sınırlı Şelf'i" belirtmektedir. Bu fasye ait sedimanlar genellikle düşük ortamsal enerjiyi gösterir ve alveolinid kavaklıları mikritik sedimanlar içerisinde hafif akıntılar ile yoğunlaştırılmış ve taşınmışlardır (Hottinger, 1960; Romero vd., 2002; Cosovic vd., 2004).

Diğer taraftan; inceleme alanında alınan kesitlerin üst kısımlarına doğru çıktığında, buralarda ayırmış kumlu-killi kireçtaşlarındaki nummulit grubu içerisinde bulunan fosiller ise, resifal ortamda "Açık Deniz İç Şelf" fasyesinin varlığına işaret etmektedir. Bu fasyeste yer alan sığ platformdaki sedimanlar da genellikle *Assilina* ve *Nummulites* gibi merceksi-yassılaşmış ve büyük boy foraminiferler ile küçük bentik foraminiferlerin zengin bir topluluğuna rastlanmaktadır (Hottinger, 1960; Romero vd., 2002).

SONUÇLAR

Bu çalışmada, Dinar (Afyon) yöresinde yayılım gösteren Garipçe formasyonunda *Alveolina cf. prorrecta* Hottinger, *Assilina exponens* (Sowby), *Nummulites beaumonti* d'Archiac ve Haime, *N. millecaput* Boubée ve *N. paeaturicus* Schaub gibi orta Lütesiyen'i; *Alveolina* gr. *elliptica* (Sowerby), *Assilina exponens* (Sowby), *Nummulites aturicus* Joly ve Leymerie, *N. beaumonti* d'Archiac ve Haime, *Chapmanina gassiensis* Silvestri gibi geç Lütesiyen'i karakterize eden bentik foraminifer türleri belirlenmiştir. Tayin edilen bu bentik foraminiferlere dayanarak orta Lütesiyen içinde SB 14 ve SB 15 biyozonları ve geç Lütesiyen içinde ise SB 16 biyozonu ayırtlamıştır. İnceleme alanında yapılan çalışmalar sonucunda; resifal ortamda çökelen kayaçlardan alt seviyelerindeki karbonatlı olanların "Normal Tuzlukta Sınırlı Şelf" fasyesinde, üst seviyelerindeki kumlu-killi, nummulitli kireçtaşı

litolojisinde olanların ise "Açık Deniz İç Şelf" fasyesinde çökeldiği saptanmıştır.

TEŞEKKÜR

Yazarlar; Alveolinidae familyasının cins ve türlerinin tanımındaki değerli katkılarından dolayı Şükrü ACAR (MTA)'a teşekkür ederler.

KAYNAKLAR

- Bentham, P., and Burbank, D. W., 1996. Chronology of Eocene foreland basen evolution along the western oblique margin of the south Central Pyrenees. In: P. F. Friend and C. J., Dabrio (eds.), Tertiary Basin of Spain, Cambridge University Press, Chapter E 11, 144-152.
- Berggren, W. A., Kent, D. V., Swisher, C. C., and Aubry M. P., 1995. A revised Cenozoic geochronology and chronostratigraphy. In: W. A. Berggren, D. V. Kent, and C. J. Dabrio (eds.), Tertiary Basin of Spain, Cambridge University Press, Chapter E, 11, 144-152.
- Bilgin, A., Köseoğlu, M. ve Özkan, G., 1988. Isparta Gölcük yöreni kayaçlarının mineralojisi, petrografisi ve jeokimyası. Tübitak Doğa Dergisi, 15, 343-360.
- Blumenthal, M., 1947. Geologie der Taurusketten in Hinterland von Seydişehir und Beyşehir. Maden Tetkik Arama Yayıncı, Seri D, 2, 242 p.
- Brunn, J. H., Dumont, J. F., Graciansky, P. C., Gutnic, M., Juteau, T., Marcaux, J., Monod, O., and Poisson, A., 1971. Outline of the geology of the Western Taurids. In: A. S. Campell (ed.), Geology and History of Turkey, Petroleum Exploration Society of Libya, 225-255.
- Cosovic, V., Drobne, K., and Moro, A., 2004. Paleoenvironmental model for Eocene foraminiferal limestones of the Adriatic carbonate platform (Istrian Peninsula). Facies, 50, 61-75.
- Dumont, J. F., 1976. Isparta kıvrımı ve Antalya naplarının orijini, Toroslar'ın Üst Kretase tektonik jenezi ile oluşmuş yapısal düzeninin büyük bir dekroşman, transtorik arızasıyla ayrılması varsayımlı. MTA Dergisi, 86, 56-67.
- Görmüş, M., 1996. Foraminiferler ile fosilleşme analizi bir örnek: Isparta dolayları Kretase-Tersiyer istifileri. Geosound, 28, 103-124.

- Görmüş, M., and Karaman, M. E., 1992. Facies changes and new stratigraphical-paleontological data in the Cretaceous-Tertiary boundary around the Söbüdağ (Çünür-Isparta). *Geosound*, 21, 43-47.
- Görmüş, M. ve Özkul, M., 1995. Gönen-Atabey (Isparta) ve Ağlasun (Burdur) arasındaki bölgenin stratigrafisi. Süleyman Demirel Üniversitesi, Fen Bilimleri Enstitüsü Dergisi 1, 43-64.
- Görmüş, M. ve Yeşilot (Köse), S., 1999. Dinar-Isparta arasındaki Eosen bentik foraminifer ve nummulitlerin biyofabrik incelemesi. 11. Mühendislik Haftası Bildiriler Kitabı, 90-100.
- Gutnic, M., Monod, O., Poisson, A., and Dumont, J. F., 1979. Geologie des Taurides occidentales (Turquie). Mémoires Société Géologie de France, 137, 112 p.
- Hottinger, L., 1960. Recherches sur les Alveolines du Paleocene et de l' Eocene Mémoires Suisses de Paléontologie, 75/76, 243 p.
- Karaman, M. E., 1994. Isparta-Burdur arasındaki jeolojisi ve tektonik özellikleri. Türkiye Jeoloji Kurumu Bülteni, 37 (2), 119-134.
- Kapellos, C., and Schaub, H., 1973. Zur Korrelation von biozonierungen mit grossforaminiferen und nannoplancton im Palaogen der Pyrenäen. *Eclogae Geological Helvetica*, 66, 687-737.
- Koçyiğit, A., 1982. Isparta Büklümü'nde (Batı Toroslar) Toros karbonat platformunun evrimi. *Türkiye Jeoloji Kurumu Bülteni*, 24, 15-23.
- Koçyiğit, A., 1984. Tectono-stratigraphic characteristics of Hoyran Lake region (Isparta Bend). In: O. Tekeli ve M. C. Göncüoğlu (eds.), *Proceedings of the International Symposium on Geology of the Taurus Belt*, 53-68.
- Köse-Yeşilot, S., 2000. Dinar Isparta arasındaki Eosen bentik foraminiferlerinin sistematik ve biyofabrik incelemesi. Yüksek Lisans Tezi, Süleyman Demirel Üniversitesi, Fen Bilimleri Enstitüsü (yayınlanmamış).
- Romero, J., Esmeralda, C., and Rosell, J., 2002. A model for the palaeoenvironmental distribution of larger foraminifera based on late Middle Eocene deposits on the margin of the South Pyrenean basin (NE Spain). *Palaeogeography, Palaeoclimatology, Palaeoecology*, 179, 43-56.
- Samso, J. M., Serra-Kiel, J., Tosquella, J., and Travé, A., 1994. Crono stratigrafia de las plataformas lutécias de la zona central de la cuenca surpirenaica. In: A. Muñoz, A. González and A. Pérez, (eds.), II. Congreso Group Espanola Terciario, Comunicaciones, Jaca, 20-208.
- Serra-Kiel, J., Hottinger, L., Caus, E., Drobne, K., Ferrandez, C., Jauhri, A. K., Less, G., Pavlovec, R., Pignatti, J., Samso, J. M., Schaub, H., Sirel, E., Strougo, A., Tambareau, Y., Tosqella, J., and Zakrevskaya, E., 1998a. Larger foraminiferal biostratigraphy of the Tethyan Paleocene and Eocene. *Bulletin Geological Society of France*, 169, 281-299.
- Serra-Kiel, J., Hottinger, L., Caus, E., Drobne, K., Ferrandez, C., Jauhri, A. K., Less, G., Pavlovec, R., Pignatti, J., Samso, J. M., Schaub, H., Sirel, E., Strougo, A., Tambareau, Y., Tosqella, J., and Zakrevskaya, E., 1998b. Benthic foraminifera from Paleoocene and Eocene. In: P. C. Graciansky, J. Hardenbol, T. Jacquin and P. R. Vail, (eds.), *Mesozoic-Senozoic Sequence Stratigraphy of Western European Basins*. Society of Economic Paleontology and Mineralogy Special Publication, Tulsa, 767 p.
- Waldrone, J. W. H., 1981. Antalya karmaşığı kuzeydoğu uzanımının Isparta bölgesindeki stratigrafisi ve sedimanter evrimi. MTA Bülteni, 97-98, 1-20.
- Woodcock, N. H., and Robertson, A. H. F., 1985. Imbricate thrust belt tectonics and sedimentation as a guide to the emplacement of part of the Antalya complex. SW Turkey. In: E. İzdar and E. Nakoman, (eds.), VI. Colloquium on the Geology of Aegean Region, 661-670.
- Yağmurlu, F., 1994. Isparta kuzeyinde yeralan Oligosen yaşlı molas tipi kırıntıları tortulların tectono-sedimanter özellikleri. Çukurova Üniversitesi Mühendislik-Mimarlık Fakültesi 15. Yıl Sempozyumu Bildiriler Kitabı, C. II, 241-252.
- Yalçınkaya, S., Ergin, A., Afşar, Ö. P. ve Taner, K., 1986. Batı Torosların jeolojisi. MTA Genel Müdürlüğü Raporu (yayınlanmamış).
- Yıldız, A. ve Toker, V., 1991. Çünür köyü yöresindeki (Isparta kuzeyi) Üst Kretase-Eosen yaşlı birimlerin planktik foraminiferler ile biyostratigrafik incelemesi. *Türkiye Jeoloji Kurumu Bülteni*, 34 (2), 43-58.

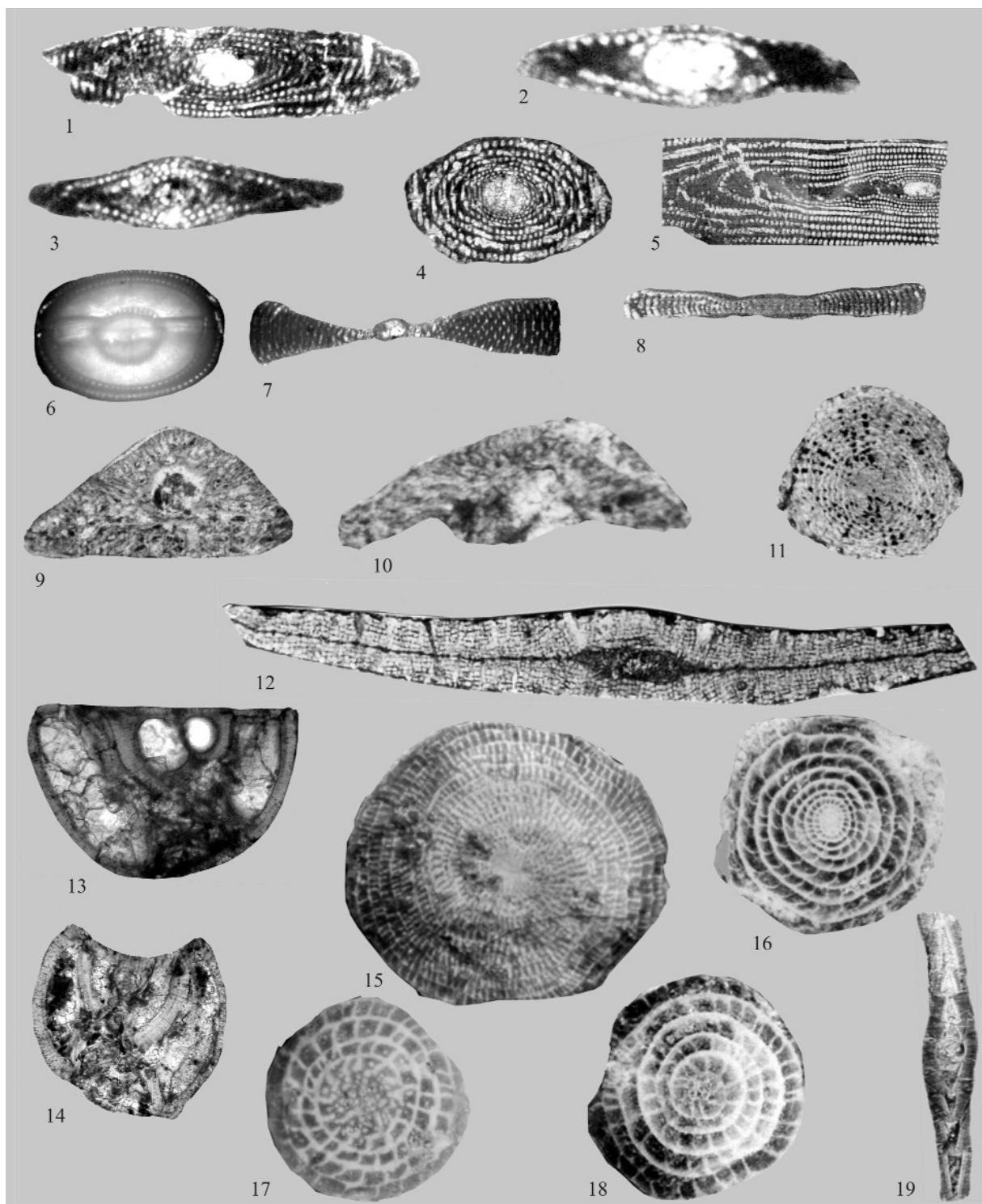
LEVHA 1

- Şekil 1. *Alveolina* sp. Subeksenel kesit, makrosferik form, DİL 1, X34, Dinar Merkez.
- Şekil 2. *Alveolina* sp. Subeksenel kesit, makrosferik form, DI-1, X75, Dinar-Suçikan Tepe.
- Şekil 3. *Alveolina* sp. Subeksenel kesit, makrosferik form, VII, X55, Dinar-Kaleyiği.
- Şekil 4. *Alveolina* sp. Subeksenel kesit, makrosferik form, DİL 2, X19, Dinar Merkez.
- Şekil 5. *Alveolina* cf. *prorrecta* Hottinger, eksenel kesit, makrosferik form, VII, X12, Dinar-Kaleyiği.
- Şekil 6. *Alveolina* gr. *elliptica* Hottinger, subeksenel kesit, makrosferik form, DİL 1, X3, Dinar-Suçikan Tepe.
- Şekil 7. *Orbitolites complanatus* Lamarck, eksenel kesit, makrosferik form, DİL 2, X4, Dinar Merkez.
- Şekil 8. *Orbitolites complanatus* Lamarck, eksenel kesit, makrosferik form, DİL 2, X24, Dinar Merkez.
- Şekil 9. *Fabiania cassis* (Oppenheim), düşey kesit, makrosferik form, DI-1, X23, Dinar-Suçikan Tepe.
- Şekil 10. *Fabiania cassis* (Oppenheim), düşey kesit, makrosferik form, DI-1, X51, Dinar-Suçikan Tepe.
- Şekil 11. *Sphaerogypsina globula* (Reuss), ekvatorial kesit, DI-7, X36, Dinar-Suçikan Tepe.
- Şekil 12. *Discocyclina* sp. Eksenel kesit, DI-2, X29, Dinar-Suçikan Tepe.
- Şekil 13. *Gyroidinella magna* le Calvez, eksenel kesit, DİL 4, X8, Dinar Merkez.
- Şekil 14. *Gyroidinella magna* le Calvez, eksenel kesit, DİL 4, X4, Dinar Merkez.
- Şekil 15. *Assilina exponens* (Sowerby), dış görünüm, I, X4, Dinar-Kaleyiği.
- Şekil 16. *Assilina exponens* (Sowerby), ekvatorial kesit, mikrosferik form, I, X3, Dinar-Kaleyiği.
- Şekil 17. *Assilina exponens* (Sowerby), dış görünüm, makrosferik form, DI-10, X6, Dinar-Suçikan Tepe.
- Şekil 18. *Assilina exponens* (Sowerby), ekvatorial kesit, makrosferik form, I, X6, Dinar-Kaleyiği.
- Şekil 19. *Assilina exponens* (Sowerby), eksenel kesit, makrosferik form, I, X5, Dinar-Kaleyiği.

PLATE 1

- Figure 1. *Alveolina* sp. Subaxial section, macrosferic form, DİL 1, X34, Dinar Merkez.
- Figure 2. *Alveolina* sp. Subaxial section, macrosferic form, DI-1, X75, Dinar-Suçikan Tepe.
- Figure 3. *Alveolina* sp. Subaxial section, macrosferic form, VII, X55, Dinar-Kaleyiği.
- Figure 4. *Alveolina* sp. Subaxial section, macrosferic form, DİL 2, X19, Dinar Merkez.
- Figure 5. *Alveolina* cf. *prorrecta* Hottinger, axial section, macrosferic form, VII, X12, Dinar-Kaleyiği.
- Figure 6. *Alveolina* gr. *elliptica* Hottinger, subaxial section, macrosferic form, DİL 1, X3, Dinar-Suçikan Tepe.
- Figure 7. *Orbitolites complanatus* Lamarck, axial section, macrosferic form, DİL 2, X4, Dinar Merkez.
- Figure 8. *Orbitolites complanatus* Lamarck, axial section, macrosferic form, DİL 2, X24, Dinar Merkez.
- Figure 9. *Fabiania cassis* (Oppenheim), vertical section, macrosferic form, DI-1, X23, Dinar-Suçikan Tepe.
- Figure 10. *Fabiania cassis* (Oppenheim), vertical section, macrosferic form, DI-1, X51, Dinar-Suçikan Tepe.
- Figure 11. *Sphaerogypsina globula* (Reuss), equatorial section, DI-7, X36, Dinar-Suçikan Tepe.
- Figure 12. *Discocyclina* sp. Axial section, DI-2, X29, Dinar-Suçikan Tepe.
- Figure 13. *Gyroidinella magna* le Calvez, axial section, DİL 4, X8, Dinar Merkez.
- Figure 14. *Gyroidinella magna* le Calvez, axial section, DİL 4, X4, Dinar Merkez.
- Figure 15. *Assilina exponens* (Sowerby), side view, I, X4, Dinar-Kaleyiği.
- Figure 16. *Assilina exponens* (Sowerby), equatorial section, microsferic form, I, X3, Dinar-Kaleyiği.
- Figure 17. *Assilina exponens* (Sowerby), side view, macrosferic form, DI-10, X6, Dinar-Suçikan Tepe
- Figure 18. *Assilina exponens* (Sowerby), equatorial section, macrosferic form, I, X6, Dinar-Kaleyiği.
- Figure 19. *Assilina exponens* (Sowerby), axial section, macrosferic form, I, X5, Dinar-Kaleyiği.

LEVHA 1 / PLATE 1



LEVHA 2

- Şekil 1. *Nummulites aturicus* Joly & Leymerie, ekvatoryal kesit, mikrosferik form, DI-9, X4, Dinar-Suçikan Tepe.
- Şekil 2. *Nummulites aturicus* Joly & Leymerie, ekvatoryal kesit, mikrosferik form, DI-9, X4, Dinar-Suçikan Tepe.
- Şekil 3. *Nummulites aturicus* Joly & Leymerie, ekvatoryal kesit, makrosferik form, DI-9, X5, Dinar-Suçikan Tepe.
- Şekil 4. *Nummulites aturicus* Joly & Leymerie, dış görünüm, mikrosferik form, DI-9, X5, Dinar-Suçikan Tepe.
- Şekil 5. *Nummulites millecaput* Boubee, dış görünüm, makrosferik form, I, X6, Dinar-Kaleyiği.
- Şekil 6. *Nummulites millecaput* Boubee, ekvatoryal kesit, makrosferik form, DI-10, X7, Dinar-Suçikan Tepe.
- Şekil 7. *Nummulites millecaput* Boubee, eksenel kesit, makrosferik form, DI-8, X20, Dinar-Suçikan Tepe.
- Şekil 8. *Nummulites beaumonti* d' Archiac & Haime, dış görünüm, makrosferik form, DI-10, X8, Dinar-Suçikan Tepe.
- Şekil 9. *Nummulites beaumonti* d' Archiac & Haime, ekvatoryal kesit, makrosferik form, DI-10, X12, Dinar-Suçikan Tepe.
- Şekil 10. *Nummulites beaumonti* d' Archiac & Haime, ekvatoryal kesit, makrosferik form, DI-10, X12, Dinar-Suçikan Tepe.
- Şekil 11. *Nummulites praeturicus* Schaub, ekvatoryal kesit, mikrosferik form, DI-4, X3, Dinar-Suçikan Tepe.
- Şekil 12. *Nummulites praeturicus* Schaub, ekvatoryal kesit, mikrosferik form, DI-4, X2, Dinar-Suçikan Tepe.
- Şekil 13. *Nummulites praeturicus* Schaub, eksenel kesit, mikrosferik form, DI-4, X3, Dinar-Suçikan Tepe.
- Şekil 14. *Nummulites praeturicus* Schaub, ekvatoryal kesit, mikrosferik form, DI-4, X2, Dinar-Suçikan Tepe.

PLATE 2

- Figure 1. *Nummulites aturicus* Joly & Leymerie, equatorial section, microsferic form, DI-9, X4, Dinar-Suçikan Tepe.
- Figure 2. *Nummulites aturicus* Joly & Leymerie, equatorial section, microsferic form, DI-9, X4, Dinar-Suçikan Tepe.
- Figure 3. *Nummulites aturicus* Joly & Leymerie, equatorial section, macrosferic form, DI-9, X5, Dinar-Suçikan Tepe.
- Figure 4. *Nummulites aturicus* Joly & Leymerie, side view, microsferic form, DI-9, X5, Dinar-Suçikan Tepe.
- Figure 5. *Nummulites millecaput* Boubee, side view, macrosferic form, I, X6, Dinar-Kaleyiği.
- Figure 6. *Nummulites millecaput* Boubee, equatorial section, macroscopic form, DI-10, X7, Dinar-Suçikan Tepe.
- Figure 7. *Nummulites millecaput* Boubee, axial section, macroscopic form, DI-8, X20, Dinar-Suçikan Tepe.
- Figure 8. *Nummulites beaumonti* d' Archiac & Haime, side view, macrosferic form, DI-10, X8, Dinar-Suçikan Tepe.
- Figure 9. *Nummulites beaumonti* d' Archiac & Haime, equatorial section, macrosferic form, DI-10, X12, Dinar-Suçikan Tepe.
- Figure 10. *Nummulites beaumonti* d' Archiac & Haime, equatorial section, macrosferic form, DI-10, X12, Dinar-Suçikan Tepe.
- Figure 11. *Nummulites praeturicus* Schaub, equatorial section, microsferic form, DI-4, X3, Dinar-Suçikan Tepe.
- Figure 12. *Nummulites praeturicus* Schaub, equatorial section, microsferic form, DI-4, X2, Dinar-Suçikan Tepe.
- Figure 13. *Nummulites praeturicus* Schaub, axial section, microsferic form, DI-4, X3, Dinar-Suçikan Tepe.
- Figure 14. *Nummulites praeturicus* Schaub, equatorial section, microsferic form, DI-4, X2, Dinar-Suçikan Tepe.

LEVHA 2 / PLATE 2

